

DISCORDIA CUÁNTICA DE OSCILADORES F -DEFORMADOS BIPARTITOS ENTRELAZADOS

E. Castro,* S. Díaz-Solórzano, R. Gómez, A. Zambrano C. L. Ladera

Grupo de Información y Comunicación Cuántica, Departamento de Física, Universidad Simón Bolívar, Sartenejas, Edo. Miranda 89000, Venezuela.

Resumen

Las correlaciones cuánticas en sistemas compuestos son de gran importancia, y son un recurso fundamental para el desarrollo de protocolos en computación e información cuántica. En este trabajo, utilizando el formalismo de los osciladores f -deformados, se construyen estados coherentes puros no lineales usando la función de deformación de Barut-Girardello. También se construye la extensión a estados mixtos utilizando los estados tipo Werner. Para los estados construidos, se estudia la dependencia del grado de entrelazamiento y de la discordia cuántica, en función de las deformaciones de los estados, y su grado de mezcla.

Introducción

El entrelazamiento es una de las correlaciones que no tiene contraparte clásica, y su efecto marca una gran diferencia en los comportamientos clásicos y cuánticos de sistemas compuestos. Schrödinger¹ fue el primero en darse cuenta de este efecto, al percatarse que el conocimiento de la información maximal del estado de un sistema compuesto por dos particiones no garantiza el total conocimiento de la información arrojado por los estados de cada partición que constituye al sistema. El entrelazamiento ha sido usado como recurso en procesos de teleportación,² codificación superdensa,³ clonación cuántica,⁴ algoritmos cuánticos,^{5,6} criptografía cuántica,⁷ y tecnologías de computación cuántica,⁸ entre otros. Sin embargo, el entrelazamiento cuántico no es la única correlación cuántica útil para el procesado cuántico de información (PCI). La Discordia Cuántica (DC) introducida inicialmente por Ollivier y Zurek,⁹ y al mismo tiempo y de forma independiente por Henderson y Vedral,¹⁰ mide otro tipo de correlación que la planteada por el entrelazamiento, que incluso puede ser distinta de cero aún en aquellos casos en los cuales no existe entrelazamiento, lo cual ocurre para una clase muy particular pero amplia de estados separables.¹¹ La DC se define como la diferencia entre la información mutua del sistema y la información mutua obtenida después de medir sobre una de las particiones de dicho sistema. Es decir, al medir localmente sobre las distintas partes del sistema, no se obtiene la información del estado original antes de la medida, ya que parte de ésta es inaccesible localmente; razón por la cual la DC se puede interpretar como una medida de la fracción de información mutua a pares que es localmente inaccesible,^{9,10} o como la diferencia entre la información contenida en todo el sistema y la que se obtiene al perturbar midiendo localmente uno de sus constituyentes.¹²

El entrelazamiento en variables continuas se ha presentado como una técnica prometedora para codificar y manipular la información cuántica.¹³ En particular, los estados coherentes entrelazados,¹⁴ a dos modos, presentan oscilaciones y estadística fotónica más robustas que para los estados bi-fotónicos entrelazados polarizados.¹⁵ Recientemente, Hosseimi y colaboradores,¹⁶ han usado la técnica de detección homodina para encontrar experimentalmente la DC en sistemas de variable continua; usando estados Gaussianos y no Gaussianos obtienen DC distintos de cero aún para un valores pequeños de los parámetros involucrados. De

*Envío de correspondencia: ecastro@usb.ve

aquí la necesidad de cuantificar y comparar correlaciones cuánticas (entrelazamiento y DC) para estados con variable continua.

En el presente trabajo, enfocaremos el estudio de la DC y el entrelazamiento de formación (EoF) para estados con variable continua, tomando los estados coherentes bipartitos no ortogonales f -deformados tipo Bell, y su mezcla con el estado máximamente mixto, tipo cuasi-Werner. Una parte de éste estudio fue presentado en una conferencia previa,¹⁷ por lo que el presente trabajo muestra algunos nuevos resultados del EoF y la DC en forma analítica, para los estados antes mencionados, introduciendo mejoras, correcciones y optimizaciones con respecto a los publicados en dicha conferencia. En el presente trabajo se determinó una expresión analítica de la DC, la cual ya está maximizada en su entropía condicional, y se determinó el EoF en forma analítica. Esta publicación está estructurada en tres partes. En la primera, se hace una introducción a los estados coherentes no lineales f -deformados. En la segunda parte, se presenta una descripción de la DC, y se muestran resultados analíticos de dicha medida de correlación; así como de la concurrencia y el EoF. En la tercera parte, se discuten y analizan los resultados obtenidos.

Osciladores f -deformados

Los estados coherentes fueron descubiertos inicialmente por Scrödinger¹⁸ cuando determinó la función de onda dependiente del tiempo para un oscilador armónico; ya que éstos deben estar en completo acuerdo con el movimiento oscilatorio clásico. Posteriormente, estos estados fueron introducidos en la óptica cuántica por Glauber,¹⁹ mediante el estudio de la coherencia de los campos de radiación cuantizados, él demostró que los estados coherentes $|\alpha\rangle$ pueden ser obtenidos a partir de cualesquiera de las siguientes premisas: (I) Son los autovectores del operador de aniquilación bosónico \hat{a} , cuyo autovalor α es cualquier número complejo, comúnmente llamado variable continua. Es decir, $\hat{a}|\alpha\rangle = \alpha|\alpha\rangle$. (II) Se obtienen de aplicar el operador desplazamiento $D(\alpha) = \exp(\alpha\hat{a}^\dagger - \alpha^*\hat{a})$ sobre el vacío cuántico $|0\rangle$ del oscilador armónico, es decir, $|\alpha\rangle = D(\alpha)|0\rangle$, siendo \hat{a}^\dagger el operador de creación bosónico. (III) Son estados cuánticos para los cuales el producto de las dispersiones del operador momento y posición presentan el mínimo valor de incertidumbre, es decir, en dichos estados se cumple que $(\Delta q)_\alpha^2 (\Delta p)_\alpha^2 = \hbar/4$, siendo q y p los operadores posición y momentum, respectivamente.

Man'ko y colaboradores²⁰ introdujeron los osciladores f -deformados, como una generalización de los q -osciladores. Los f -osciladores describen oscilaciones con un tipo específico de no linealidad; para los cuales la frecuencia de oscilación depende de la energía del oscilador. Estos osciladores no lineales, a un solo modo, se obtienen a partir de la deformación de los operadores de aniquilación y creación bosónicos, de acuerdo a las siguientes relaciones algebraicas

$$\hat{A} \equiv \hat{a}f(\hat{n}) = f(\hat{n} + 1)\hat{a}, \quad (1a)$$

$$\hat{A}^\dagger \equiv f(\hat{n})\hat{a}^\dagger = \hat{a}^\dagger f(\hat{n} + 1), \quad (1b)$$

donde $\hat{n} = \hat{a}^\dagger\hat{a}$, es el operador de número bosónico, y su acción sobre las bases del espacio de Fox es

$$\hat{A}|n\rangle = \sqrt{n}f(\hat{n})|n-1\rangle, \quad (2a)$$

$$\hat{A}^\dagger|n\rangle = \sqrt{n+1}f(\hat{n}+1)|n+1\rangle. \quad (2b)$$

Los operadores bosónicos deformados, \hat{A} y \hat{A}^\dagger , difieren de los operadores bosónicos usuales, \hat{a} y \hat{a}^\dagger , por una función de deformación $f(\hat{n})$, siendo ésta una función continua, real y positiva tal que $f(0) = 1$. Las relaciones de conmutación entre los operadores deformados están dadas por

$$[\hat{n}, \hat{A}] = -\hat{A}, \quad [\hat{n}, \hat{A}^\dagger] = -\hat{A}^\dagger, \quad \text{y} \quad [\hat{A}, \hat{A}^\dagger] = 1 + \phi(\hat{n}), \quad (3)$$

donde $\phi(\hat{n}) = (\hat{n} + 1)f^2(\hat{n} + 1) - \hat{n}f^2(\hat{n}) - 1$. La deformación es fija cuando se define la función $f(\hat{n})$, y los estados coherentes se recuperan cuando $f(\hat{n}) = 1$. Man'ko y colaboradores²⁰ introdujeron los estados

coherentes f -deformados $|\alpha\rangle_A$, de manera análoga a los estados coherentes; es decir, como los autoestados del operador de aniquilación deformado \hat{A} . Por lo que, de la ecuación de autovalores $\hat{A}|\alpha\rangle_A = \alpha|\alpha\rangle_A$ conduce a:

$$|\alpha\rangle_A = N_A \sum_{n=0}^{\infty} \frac{\alpha^n}{\sqrt{n!} f(n)!} |n\rangle, \quad (4a)$$

$$N_A = \left[\sum_{n=0}^{\infty} \frac{|\alpha|^{2n}}{n! f^2(n)!} \right]^{-1/2}, \quad (4b)$$

donde N_A es la constante de normalización, $|\alpha|^2$ es el número medio de fotones, y $f(n)! = f(0)f(1)f(2)\cdots f(n)$. Estos estados poseen propiedades no clásicas como compresión y antibunching.²¹ Debido a que el conmutador de \hat{A} con \hat{A}^\dagger no es un número (véase la Ec. 3) el operador desplazamiento $\hat{D}(\alpha)$ no puede ser escrito como el producto de exponenciales, ni tampoco es unitario. Recamier y colaboradores²¹ demuestran que los estados coherente f -deformado $|\alpha\rangle_D$ pueden ser obtenidos a partir de un operador desplazamiento f -deformado $\hat{D}(\alpha, f)$, cuando se hace actuar sobre el estado vacío $|0\rangle$ del espacio de Fox; en otras palabras, $|\alpha\rangle_D = \hat{D}(\alpha, f)|0\rangle$. El operador desplazamiento deformado puede ser escrito de la forma

$$\hat{D}(\alpha, f) = \exp \left[\alpha \hat{A}^\dagger \right] \exp \left[\alpha^* \hat{A} \right] \exp \left[-\frac{|\alpha|^2}{2} (1 + \phi(\hat{n})) \right]. \quad (5)$$

Este operador desplazamiento es aproximadamente unitario, y desplaza tanto al operador \hat{A} como al operador \hat{A}^\dagger si y solo si $|\alpha|^2 \phi(\hat{n})/2 \ll 1$. Este operador desplazamiento satisface las relaciones

$$\hat{D}(-\alpha, f) = \hat{D}^{-1}(\alpha, f) = \hat{D}^\dagger(\alpha, f), \quad (6a)$$

$$\hat{D}^\dagger(\alpha, f) \hat{A} \hat{D}(\alpha, f) = \hat{A} + \alpha (1 - \phi(\hat{n})), \quad (6b)$$

$$\hat{D}^\dagger(\alpha, f) \hat{A}^\dagger \hat{D}(\alpha, f) = \hat{A}^\dagger + \alpha^* (1 - \phi(\hat{n})). \quad (6c)$$

También obedece la relación de semigrupo, esto es,

$$\hat{D}(\alpha, f) \hat{D}(\beta, f) = \hat{D}(\alpha + \beta, f) \exp [i \text{Im}(\alpha \beta^*) (1 + \phi(\hat{n}))]. \quad (7)$$

Los estados coherentes f -deformados normalizados, obtenidos a partir del operador desplazamiento $\hat{D}(\alpha, f)$ tienen la forma

$$|\alpha\rangle_D = \hat{D}(\alpha, f)|0\rangle = N_D \sum_{n=0}^{\infty} \frac{\alpha^n f(n)!}{\sqrt{n!}} |n\rangle, \quad (8a)$$

$$N_D = \left[\sum_{n=0}^{\infty} \frac{|\alpha|^{2n} f^2(n)!}{n!} \right]^{-1/2}. \quad (8b)$$

Los dos tipos de estados deformados $|\alpha\rangle_A$ y $|\alpha\rangle_D$ presentan una evolución cuántica similar, pero sus estadística son diferentes.²²

Los estados coherentes asociados con el álgebra de Lie $SU(1,1)$ fueron construidos por Barut y Girardello²³ y por Gilmore y Perelomov.^{24,25} Las funciones no lineales de deformación asociadas con estos estados $SU(1,1)$ son $f_{BG}(n, \kappa) = \sqrt{n+2\kappa-1}$ y $f_{GP}(n, \kappa) = \sqrt{n+2\kappa-1}$, respectivamente, con $\kappa = 1/2, 1, 3/2, \dots$. Con la finalidad de ilustrar la influencia de la deformación la influencia de la deformación sobre la DC y el EoF, en el presente trabajo utilizaremos solamente la función f_{BG} , como nuestra función no lineal de deformación, de los estados f -deformados $|\alpha\rangle_D$.

En el presente trabajo consideraremos a los estados coherentes f -deformados como un recurso para codificar información o desarrollar protocolos cuánticos. Para ello consideraremos las bases ortogonales

$$|\pm\rangle = N_\pm (|\alpha\rangle_D \pm |-\alpha\rangle_D), \quad (9)$$

conocidas como las bases ortonormales deformadas, impares y pares, tipo Gato de Schrödinger, respectivamente, donde $N_{\pm} = (2 \pm 2 {}_D\langle\alpha| - \alpha\rangle_D)^{-1/2}$ son las constantes de normalización. Consideraremos además el estado puro deformado, no ortogonal, tipo Bell de la forma

$$|\psi^+\rangle = n_+ (|\alpha\rangle_D \otimes |\alpha\rangle_D \pm |-\alpha\rangle_D \otimes |-\alpha\rangle_D), \quad (10)$$

donde la constante de normalización viene dada por $n_+ = (2 + 2 {}_D\langle\alpha| - \alpha\rangle_D)^{-1/2}$. Considerando las bases ortonormales $|\pm\rangle$, de forma tal que los estados $|\psi^+\rangle$ se pueden escribir de la forma

$$|\psi^+\rangle = \frac{n_+}{2} \left[\frac{|+, +\rangle}{(N_+)^2} + \frac{|-, -\rangle}{(N_-)^2} \right], \quad (11)$$

Los estados cuasi-Werner ρ_W son construido a partir de la combinación lineal entre el operador identidad $\mathbb{1}_4$, de orden 4, y el proyector construido con el estado dado en (11). La interpretación física de este estado corresponde a la mezcla estadística entre los estados $\frac{1}{4}\mathbb{1}_4$ y $|\psi^+\rangle\langle\psi^+|$ con probabilidad $(1-p)$ y p , respectivamente. Esto es,

$$\rho_W(\alpha, f(n), p) = \frac{(1-p)}{4} \mathbb{1}_4 + p |\psi^+\rangle\langle\psi^+|. \quad (12)$$

Entrelazamiento de formación y Discordia cuántica

Una buena medida para cuantificar el entrelazamiento de un estado puro ψ es la entropía de von-Neumann (definida como $S(\rho) = -\rho \log_2(\rho)$, en unidades de bits), la razón se debe a la posibilidad de convertir un estado puro entrelazado en otro a partir de una cierta cantidad de estados singletes,²⁶ dicha cantidad es proporcional a la entropía del estado asociado a una de sus particiones. Así, que el entrelazamiento de formación para un estado puro viene dado por

$$EoF(\psi) = S(\rho_A) = S(\rho_B) \quad (13)$$

Siendo $\rho_A = \text{tr}_B [|\psi\rangle\langle\psi|]$ y $\rho_B = \text{tr}_A [|\psi\rangle\langle\psi|]$ los estados reducidos. Es claro que el entrelazamiento de formación vista como la entropía para un estado puro no cambia antes operaciones locales, por lo que no es posible la creación o destrucción de entrelazamiento usando transformaciones unitarias locales. No obstante, la entropía de von-Neumann no es una buena medida del grado de entrelazamiento para estados mixtos, la razón es que existen estados no entrelazados cuya entropía de algunas de sus partes puede no anularse. Para cuantificar el grado de entrelazamiento de un estado mixto Wootters²⁶ propone al promedio del entrelazamiento de las particiones que componen al sistema y luego minimizando sobre toda la composición, es decir:

$$EoF(\rho) = \min_i \sum P_i E(\psi_i), \quad (14)$$

siendo $E(\psi) = -\text{tr}[\rho_A \log_2 \rho_A] = -[\rho_B \log_2 \rho_B]$ es la entropía asociada a cada una de las partes del sistema bipartito. En cualquier caso (puro o mixto) el EoF se puede escribir como

$$EoF(\rho) = h\left(\frac{1 + \sqrt{1 - C^2}}{2}\right), \quad (15)$$

siendo $h(x) = -x \log_2 x - (1-x) \log_2(1-x)$ la función de entropía binaria. El parámetro real y positivo C recibe el nombre de *conurrencia*, y viene definida para estados puros y mixtos como $C = |\langle\psi|\tilde{\psi}\rangle|$ y $C = \max\{0, \sqrt{\lambda_1} - \sqrt{\lambda_2} - \sqrt{\lambda_3} - \sqrt{\lambda_4}\}$, respectivamente. Siendo los λ_i los autovalores, en orden decreciente, de la matriz positiva y hermítica $R = \sqrt{\sqrt{\rho} \tilde{\rho} \sqrt{\rho}}$, o alternativamente, son las raíces de los valores propios de la matriz no hermítica $\rho\tilde{\rho}$, y $|\tilde{\psi}\rangle$ así como $\tilde{\rho}$ resultan de aplicar la operación "spin-flip" sobre el estado puro $|\psi\rangle$ y el estado mezcla ρ , es decir, $|\tilde{\psi}\rangle = \sigma_y \otimes \sigma_y |\psi^*\rangle$ y $\tilde{\rho} = (\sigma_y \otimes \sigma_y) \rho^* (\sigma_y \otimes \sigma_y)$, respectivamente. Siendo

$|\psi^*\rangle$ y ρ^* el conjugado de los estados puro y mixto $|\psi\rangle$ y ρ , respectivamente. Para los estados tipo-Werner indicados en (12) se tiene que la concurrencia es

$$C = \begin{cases} \sqrt{\lambda_+} - 2\sqrt{\lambda_0} - \sqrt{\lambda_-} & \text{si } q < \frac{1}{4} \\ \sqrt{\lambda_0} - 2\sqrt{\lambda_+} & \text{si } q = \frac{1}{4} \\ \sqrt{\lambda_-} - 2\sqrt{\lambda_0} - \sqrt{\lambda_+} & \text{si } q > \frac{1}{4} \end{cases} \quad (16)$$

Donde

$$q = \frac{1 + 3p}{4} \quad (17a)$$

$$\lambda_0 = \left(\frac{1-q}{3}\right)^2 \quad (17b)$$

$$\lambda_{\pm} = \frac{q(1-q)}{3} + \frac{1-4q}{18} C_{\psi} \left[C_{\psi} \pm \sqrt{(1-4q)^2 C_{\psi} + 12q(1-q)} \right] \quad (17c)$$

Siendo $C_{\psi} = n_+^2 / 2N_+^2 N_-^2$ la concurrencia del estado puro (11).

Para el cálculo de la DC la información mutua cuántica del sistema AB viene dada por^{9,10}

$$I(\rho_{AB}) = S(\rho_A) + S(\rho_B) - S(\rho_{AB}). \quad (18)$$

Mientras que la información mutua después de un conjunto de medidas proyectivas locales en la partición B , tipo von Neumann, esto es, $\{\Pi_B^j\} = \{\mathbb{1}_2 \otimes |j_B\rangle\langle j_B|\}$. El estado final de todo el sistema, una vez realizada la medida sobre B , será

$$\rho_{AB|\Pi_B^j} = \frac{1}{p_j} \left(\mathbb{1}_2 \otimes \Pi_B^j \right) \rho_{AB} \left(\mathbb{1}_2 \otimes \Pi_B^j \right), \quad (19)$$

siendo p_j la probabilidad de obtener dicho estado $\rho_{A|\Pi_B^j}$, esto es,

$$p_j = \text{tr} \left[\left(\mathbb{1}_2 \otimes \Pi_B^j \right) \rho_{AB} \right]. \quad (20)$$

La entropía condicional después de la medida será $S(\rho_{AB|\Pi_B^j}) = \sum_j p_j S(\rho_A|j)$, siendo $S(\rho_A|j) = \text{Tr}_B(\rho_{AB|\Pi_B^j})$ la entropía del subsistema A después de la medida. La información mutua del sistema AB después de la medida será:

$$J(\rho_{AB}) = S(\rho_A) - S(\rho_{AB|\Pi_B^j}). \quad (21)$$

La medida de la discordia cuántica se define como

$$\delta_{\overleftarrow{AB}}(\rho_{AB}) = I(\rho_{AB}) - \max_{\Pi_B} J(\rho_{AB}). \quad (22)$$

La maximización se realiza sobre todas las medidas posibles $\{\Pi_B^j\}$. Esta discordia es siempre positiva, asimétrica (ya que $\delta_{\overleftarrow{AB}}(\rho_{AB}) \neq \delta_{\overrightarrow{AB}}(\rho_{AB})$), es cero si y solo si las medidas locales no perturban al sistema cuántico, y es invariante ante transformaciones unitarias. El cálculo de la DC exige en muchos casos conocidos un proceso de maximización numérica de la entropía condicional, y en muy pocos casos se conoce la solución analítica. En el presente trabajo determinamos analíticamente la DC para la matriz de cuasi-Werner $\rho_W(\alpha_D, f(n), p)$ dada por la ecuación (12), encontrando que esta tiene la forma

$$\delta_{\overleftarrow{AB}}(\rho_{AB}) = S(\rho_B) + F(z_+) + F(z_-) - S(\rho_{AB}) \quad (23)$$

con

$$z_{\pm} = \frac{1}{2} \pm \frac{4q-1}{24} n_+^2 \frac{N_-^4 - N_+^4}{N_+^4 N_-^4} \quad (24a)$$

$$F(z) = \frac{1-q}{3} \ln \left[\frac{3z}{1-q} - 1 \right] - z \ln \left[1 - \frac{1-q}{3z} \right] \quad (24b)$$

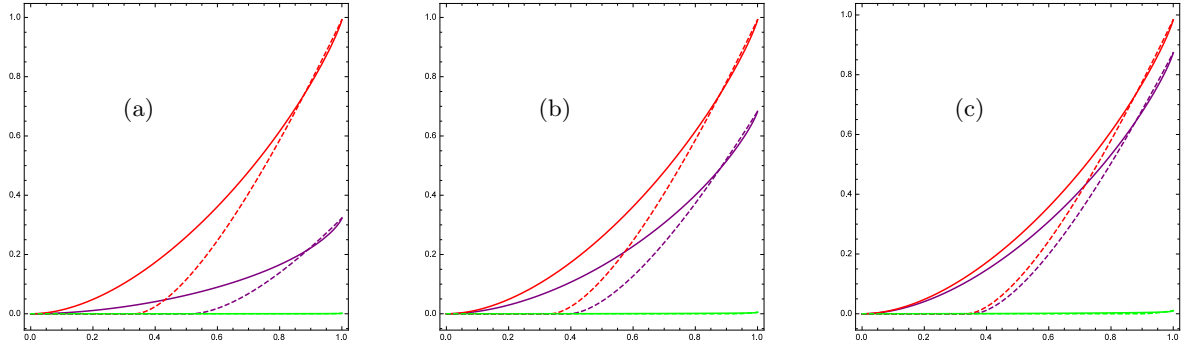


Figure 1: Gráficas de la DC (línea sólida) y EOF (línea segmentada) en función del parámetro de mezcla p , con $\alpha = 0.1$ (verde), $\alpha = 0.5$ (morado) y $\alpha = 1$ (rojo), para (a) $k = 1/2$, (b) $k = 1$ y (c) $k = 3/2$.

Mientras que la entropía $S(\rho_B)$ viene dada por

$$S(\rho_B) = h\left(\frac{1}{2} - \frac{1}{2}p\sqrt{1 - C_\psi^2}\right) \quad (25)$$

siendo $h(x)$ la función de entropía binaria y $C_\psi = n_+^2/2N_+^2N_-^2$ la concurrencia del estado dado en (11).

Resultados y conclusiones

En la Figura 1, se muestra la relación entre la DC (líneas sólidas) y el EoF (líneas segmentadas), en función del parámetro de mezcla p . En función de los resultados obtenidos hemos definido, a partir de la amplitud $|\alpha|$, tres regiones de interés. La región con $|\alpha| \leq 0.1$ (valores pequeños de $|\alpha|$), la región con $0.1 < |\alpha| < 1$ (valores intermedios de $|\alpha|$), y la región con $|\alpha| \geq 1$ (valores grandes de $|\alpha|$). En cada una de las gráficas contenidas en la Figura 1 se comparan la DC y del EoF para los valores de $|\alpha|$; $|\alpha| = 0.1$ (líneas verdes), $|\alpha| = 0.5$ (líneas moradas) y $|\alpha| = 1$ (líneas rojas). La Figura 1(a), corresponde al valor del parámetro de deformación $k = 1/2$, la Figura 1(b), corresponde al valor del parámetro de deformación $k = 1$, y la Figura 1(c), corresponde al valor del parámetro de deformación $k = 3/2$.

La DC y EoF no son susceptibles a los efectos introducidos por la función de deformación para valores pequeños y grandes del parámetro $|\alpha|$. Sin embargo, en la región de valores intermedios de dicho parámetro (líneas moradas), se puede observar que la DC y EoF cambian conforme lo hace el parámetro de deformación k . Además, a medida que $|\alpha|$ aumenta también lo hace de forma monótona la DC y el EoF. Por otra parte, se puede observar que el EoF y la DC coinciden cuando el parámetro de mezcla es $p = 1$,^{9,10} y alcanzan su máximo valor. Esto se debe a que el estado (12) es puro para dicho valor de p . También, se puede notar que siempre existe DC aún en aquellas regiones de p donde no existe entrelazamiento (estados producto); por lo que la DC mide otro tipo de correlación mas allá del entrelazamiento.

En conclusión, se puede emplear la DC para los estados estudiados como recurso en protocolos de computación cuántica y/o para el procesamiento cuántico de la información, ya que al modificar el parámetro k , en la región de valores intermedios de α , se puede calibrar en forma discreta los valores de la DC.

En el presente trabajo se obtuvo una expresión analítica de la DC y EoF para los estados tipo Werner bipartitos entrelazados f -deformados, tomando como función de deformación la funciones de Barut-Girardello y el estado tipo Bell ψ^+ . Encontrando,

References

- [1] **Schrödinger, E.** *Discussion of probability relations between separated systems.* Proc. Camb. Phil Soc. 31, 555 (1935); 32, 446 (1936).

- [2] **Bennett, C. H., Brassard G., Crépeau, C. Jozsa, R., Peres, A., y Wothers, W. K.** *Teleporting an unknown quantum state via dual classical and Einstein-Podolsky-Rosen Channels.* Phys. Rev. Lett. 70, 1895 1993.
- [3] **Bennett, C. H., y Wiesner J. S.** *Communication via one-and two-particle on Einstein Podolsky Rosen states.* Phys. Rev. Lett. 69, 2881 1992.
- [4] **Gisin N., y Massar, S.** *Optical Quantum Cloning Machine.* Phys. Rev. Lett. 79, 2153 1997.
- [5] **Shor, P. W.** *Polynomial-Time Algorithms for Prime Factorization on Computing.* SIAM Journal of Computing 26, 1484 1997.
- [6] **Grover, L. K.** *Quantum Mechanics Helps in Searching for a Needle in a Haystack.* Phys. Rev. Lett. 79, 325 1997.
- [7] **Vidal, G.** *Efficient Classical Simulation of Slightly Entangled Quantum Computations.* Phys. Rev. Lett. 91, 147902 2003.
- [8] **Bennett, C. H., y Di Vincenzo, D. P., Smoli, J. A. y Wothers, W. K.** *Mixed-state entanglement and quantum error correction.* Phys. Rev. A 54, 3824 1996.
- [9] **Ollivier, H., y Zurek, W. H.** *Quantum Discord: A Measure of the Quantumness of Correlations.* Phys. Rev. Lett 88, 0170901 2001;
- [10] **Henderson, L., y Vedral, V.** *Classical, Quantum and Total Correlations.* J. Phys. A: Math. Gen. 34, 6899 (2001).
- [11] **Ferraro, A. Aolita, L., Cavalcanti, D., Cucchietti, F.M. and Acín, A.** *Almost all quantum states have nonclassical correlations.* Phys. Rev. A 81, 052318 17 May 2010
- [12] **Ren, Zi-Jun and Fan, H.** *Quantum discord: ‘discord’ between the whole and its constituent.* J. Phys. A: Math. Gen. 45, 425304 2012.
- [13] **Cerf, N. J., Leuds G., y Plozik, E. S.,** *Quantum Information with Continuous Variables of Atoms and Light* Imperial College Press, 2007
- [14] **Sanders, B. C.** *Review of entangled coherent states.* J. Phys. A: Math. Theor. 45, 244004 (2012)
- [15] **Bukhari, H., Khan, S. N., y Ashfaq, M.** *Two-mode superposition coherent states: Entanglement and Nonclassicality.* Acta Physica Polonica B 42, 2077 (2011); **Zheng, R., Ashfaq M., y Liu A. S.** *Nonclassical states via superposition of two coherent states ($\pi/2$ out of phase) and related entangled states.* Opt. Commun. 271, 162 2007; **Ashfaq, M., y Liu, Shu-Tian** *Entangled States Based on two Coherent States $3\pi/2$ out of phase.* Chin. Phys. Lett. 23, 2964 2006.
- [16] **Hosseini, S., Rahimi-Keshari, S., Haw, J. Y., Assad, S. M., Chrzanowski, H. M., Janousek, J., Symuel, T., Ralph, T. C., y Lam, P. K.** *Experimental verification of quantum discord in continuous variable states.* J. Phys. B: At. Mol. Opt. Phys. 47, 025503 2014
- [17] **Castro, E., Zambrano, A., Ladera, C. L., y Gómez, R.** *Quantum Discord of bipartite entangled non-linear coherent states.* Proc. of SPIE 8785, 8785Q 2013.
- [18] **Schrödinge, E.** *Der stetige Übergang von der Mikro zur Makromechanik.* Die Naturwissenschaften 14, 664 (1926)
- [19] **Glauber, R. J.** *The Quantum Theory of Optical Coherence.* Phys. Rev. 130, 2529 (1963); **Glauber, R. J.** *Photon Correlations.* Phys. Rev. Lett. 10, 84 1963; **Glauber, R. J.** *Coherent and Incoherent States of the Radiation.* Phys. Rev. 131, 2766 ().
- [20] **Man’ko, V. I., Marmo, G., Sudarshan, E. C. G., Zaccaria, F.** *f-Oscillators and nonlinear coherent states.* Physica Scripta 55, 528 1997.
- [21] **de Matos Filho, R. L., y Vogel, W.,** *Nonlinear Coherent States.* Phys. Rev. A 54, 4560 1996.
- [22] **Récamier, J., Gorayeb, M., Mochán, W. L., y Paz, J. L.** *Nonlinear Coherent States and Some of Their Properties.* Int. J. Theor. Phys. 47,673 2008
- [23] **Barut, A. O., y Girardello, L.** *New Coherent States associated with non-compact groups.* Commun. Math. Phys. 21, 41 (1971)
- [24] **Perelomov A. M** *Coherent states for arbitrary Lie group .* Commun. Math. Phys. 26, 222 (1972)
- [25] **Honarasa, G. R., y Tavassoly, M. K.,** *Generalized Deformed Kerr States and Their Physical Properties.* Physica Scripta 86, 035401 2012.
- [26] **Wooters, W. K.** *Entanglement of Formation of an Arbitrary State of two Qubits.* Phys. Rev. Lett. 80, 2245 (1998); *Entanglement of formation and concurrence.* Quantum Information and Computation 1, 27 (2001).